

# КОМБИНИРОВАННАЯ СИСТЕМА АВТОМАТИЧЕСКОЙ ПОДСТРОЙКИ ЧАСТОТЫ МЕЖМОДОВЫХ БИЕНИЙ ОПТИЧЕСКОГО КВАНТОВОГО ГЕНЕРАТОРА С СИНХРОНИЗИРОВАННЫМИ КОЛЕБАНИЯМИ

*В. М. Бабич, А. Я. Лейкин, В. С. Соловьев*

Харьков

Ранее нами был предложен метод стабилизации длины резонатора многочастотного ОКГ, работающего в режиме синхронизации продольных колебаний; состоял он в следующем: частота межмодовых биений  $\Delta\nu_{\text{стс}}(t)$  стабилизируется по частоте внешнего кварцевого генератора таким образом, чтобы  $\Delta\nu_{\text{стс}}(t) = f_{\text{мэт}} = \frac{c}{2nL}$ . При синхронизации всех частот длина резонатора  $nL = c/2f_{\text{мэт}}(t)$  стабилизируется с высокой точностью, определяемой стабильностью  $f_{\text{мэт}}(t)$ , параметром синхронизации и качеством системы автоподстройки. Ранее было предложено использование

для автоподстройки частоты двухконтурную систему ЧФАП, блок-схема которой представлена на рис. 1. В настоящей работе проделан анализ такой системы с учетом статистических свойств стабилизируемых биений и дана оценка возможных погрешностей и ограничений, накладываемых свойствами межмодовых биений.

### Уравнение системы АПЧ

Межмодовые биения ОКГ со средней частотой  $\bar{\nu}_{\text{стс}}(t)$  (рис. 1) детектируются фотоприемником 1 (ФЭУ) и поступают на усилитель промежуточной частоты 2 с полосой пропускания  $\Delta f_{\text{пр1}}$ , имею-

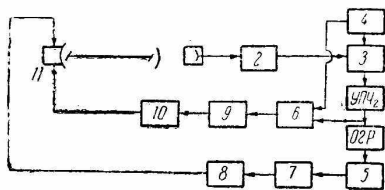


Рис. 1. Блок-схема системы стабилизации.

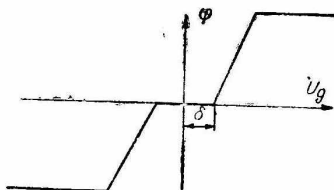


Рис. 2. Передаточная характеристика реверсивного двигателя:  $\varphi$  — скорость вращения;  $u_d$  — подаваемое напряжение;  $\delta$  — люфт.

щий коэффициент передачи  $K_{\text{упч1}} = 1$  (полный коэффициент учитывается в крутизне дискриминатора) и время запаздывания  $\tau_{\text{з1}} = \frac{n}{\pi \Delta f_{\text{пр1}}}$ , где  $n$  — число одинаковых каскадов усиления. Тогда  $K_{\text{упч}} = e^{-\tau_{\text{з1}} p}$ . За усилителем промежуточной частоты следует смеситель 3, на который одновременно поступает сигнал от опорного генератора 4 с частотой  $f_{\text{мэт}}(t)$  и нестабильностью  $\Delta f_{\text{мэт}}(t)$ . После смесителя выделяется сигнал  $f_{\text{пр2}}$ , усиливаемый усилителем УПЧ<sub>2</sub> с коэффициентом передачи  $K_{\text{упч2}} = e^{-\tau_{\text{з2}} p}$ . Затем сигнал поступает на две цепи обратной связи — на частотный дискриминатор 5 с центральной частотой  $\nu_{\text{чд}} = f_{\text{пр2}}$  и фазовый дискриминатор 6, на который одновременно подается частота от опорного генератора (соответствующим образом синтезированная). После фильтров ФНЧ<sub>1</sub> 7 и ФНЧ<sub>2</sub> 9 сигнал обратной связи воздействует на исполнительные механизмы, причем после ФНЧ<sub>1</sub> применяется УПТ 8 с коэффициентом передачи  $K_y$ , а после ФНЧ<sub>2</sub> — реверсивный двигатель 10 с характеристикой вида, как на рис. 2, и коэффициентом передачи  $K_y(p) = \frac{K_y}{p(1 + T_y p)}$ . Оба исполнительных устройства включены последовательно на один и тот же пьезокерамический элемент 11, на котором установлено зеркало

резонатора. Пьезокерамический элемент имеет линейный передаточный коэффициент  $S_y$ . В некоторых случаях необходимо учитывать его инерционность (если масса зеркала значительна) и представлять в виде идеального интегрирующего звена с коэффициентом передачи  $K_y = S_y/p$ .

Система стабилизации частоты включает два кольца, каждое из которых обладает нелинейностью — фазовым или частотным дискриминатором.

Воспользовавшись методикой работы [2], можно составить уравнения для обоих каналов:

$$\Delta v'(p) = \frac{\Delta v_c(p)}{1 + K_1(p)} + \frac{K_1(p) \Delta f_{\text{МЭТ}}(p)}{1 + K_1(p)} - \frac{K_1(p) \Delta f_{\text{Д}_1}(p)}{1 + K_1(p)} \quad (1)$$

для цепи с широкой полосой пропускания и (1);

$$\Delta v''(p) = \frac{\Delta v_c(p)}{1 + K_2(p)} + \frac{K_2(p) \Delta f_{\text{МЭТ}}(p)}{1 + K_2(p)} \quad (1')$$

для цепи с фазовым детектором.

В этих уравнениях

$$K_1(p) = K_{y_2} K_{\text{чд}} K_{\Phi_1} K_y S_y;$$

$$K_2(p) = K_{y_2} K_{\text{фд}} K_{\Phi_2} K_{\text{д}} S_y.$$

Для анализа установившегося режима достаточно рассмотреть только второе уравнение (1'), поскольку в установившемся режиме работает в основном ФАП (при отсутствии существенных быстрых возмущений). При этом остаточная ошибка широкополосной системы ЧАП выбирается несколько меньше полосы схватывания ФАП.

Влияние кольца ЧАП скажется в переходном процессе. В этом случае можно пренебречь вкладом в нестабильность ОКГ нестабильностью собственной частоты резонансного контура дискриминатора.

Уравнение текущей расстройки для двухпараллельных контуров управления можно записать в таком же виде, как и ранее:

$$\Delta v(p) = \frac{\Delta v_c(p)}{1 + K(p)} + \frac{K(p)}{1 + K(p)} \Delta f_{\text{МЭТ}}(p), \quad (2)$$

где  $K(p) = K_{y_2} [K_{\text{чд}} K_{\Phi_1} K_y S_y + K_{\text{фд}} K_{\Phi_2} K_{\text{д}} K_y]$  — коэффициент передачи разомкнутой двухкольцевой системы обратной связи.

При анализе переходного процесса можно считать, что  $\Delta f_{\text{МЭТ}}(p) = 0$ . Рассматривая для простоты систему работающей на линейном участке дискриминационной кривой, можно получить после соответствующих подстановок

$$\Delta v(p) = \frac{\Delta v_c(p)}{1 + K_{y_2} S_y \left[ \frac{S_{\text{чд}} K_y}{T_{\Phi_1} p + 1} + \frac{4U_T K_{\text{д}}}{p^2 (1 + T_{\Phi_2} + p)} \right]}, \quad (3)$$

где  $U_{\tau}$  — сигнал на входе частичного дискриминатора;

$$S_{\text{чд}} = U_{\text{тс}} S R_{\text{э}} K_{\text{д}} \frac{2Q}{\nu_{\text{чд}} (1 + \beta'^2) \sqrt{4 + \beta'^2}};$$

$U_{\text{тс}}$  — напряжение на входе дискриминатора;

$S$  — крутизна статической характеристики лампы;

$R_{\text{э}}$  — сопротивление контура;

$K_{\text{д}}$  — коэффициент детектирования;

$\beta'$  — параметр связи;

$Q$  — добротность контура.

После преобразований уравнение, описывающее текущую расстройку, принимает вид сложного полинома, характеристическое уравнение для которого имеет вид

$$a_0 p^4 + a_1 p^3 + a_2 p^2 + a_3 p + \gamma = 0, \quad (4)$$

где  $a_0 = T_{\Phi_1} T_{\Phi_2}$ ;  $a_1 = T_{\Phi_1} + T_{\Phi_2} + \beta T_{\Phi_2}$ ;  $a_2 = 1 + \beta$ ;  $a_3 = \gamma T_{\Phi_1}$ ;  $a_4 = \gamma$ ;  $\beta = K_{\text{уэ}} S_{\text{у}} S_{\text{чд}} K_{\text{у}}$ ;  $\gamma = 4 K_{\text{уэ}} S_{\text{у}} U_{\text{т}} K_{\text{д}}$ .

Рассмотрение динамики двухкольцевой системы, исходя из общего уравнения (3), весьма сложно. Здесь, по-видимому, уместны некоторые упрощения: например, можно принять, что при больших расстройках работает только система ЧАП, что обеспечивается ее полосой схватывания. При начальных расстройках  $\Delta \nu_{\text{н}}$ , благодаря тому, что  $\Delta f_{\text{сх чап}} \gg \Delta f_{\text{сх фап}}$  (рис. 3), она срабатывает до получения остаточной расстройки  $\Delta \nu_{\text{н}}$ . Если при этом окажется, что  $\Delta \nu_{\text{н}} < f_{\text{сх фап}}$ , последняя сработает до получения окончательной расстройки.

Устойчивость системы может быть проанализирована при помощи критериев Рауса — Гурвица и уравнения (4). Необходимое условие выполняется сразу, а достаточное имеет вид

$$(T_{\Phi_2} + T_{\Phi_1} + \beta T_{\Phi_2}) (1 + \beta) \gamma T_{\Phi_1} - T_{\Phi_1}^3 T_{\Phi_2} \gamma^2 - \gamma (T_{\Phi_1} + T_{\Phi_2} + \beta T_{\Phi_2})^2 > 0. \quad (5)$$

Если учесть, что  $\beta \gg 1$ , упрощенное достаточное условие

$$(\beta T_{\Phi_2} + T_{\Phi_1}) (\beta T_{\Phi_1} - 1) > \gamma T_{\Phi_1}^3 T_{\Phi_2} \quad (6)$$

или, если  $T_{\Phi_2} \gg T_{\Phi_1}$ , то  $\beta T_{\Phi_2} (\beta T_{\Phi_1} - 1) > \gamma T_{\Phi_1}^3 T_{\Phi_2}$ . Обычно последнее условие выполняется. Отсюда же можно найти примерное соотношение между коэффициентами усиления каждого кольца  $\beta$  и  $\gamma$ , если принять, что  $\beta T_{\Phi_1} \gg 1$  (что обычно имеет место):

$$\beta > T_{\Phi_1} \sqrt{\gamma}. \quad (7)$$

### Переходный процесс

Задача об определении вида переходного процесса, соответствующего (3), может быть существенно облегчена, если принять упрощения, высказанные ранее: что постоянная времени цепи

с фазовым дискриминатором  $T_{\Phi_2}$ , много больше постоянной времени цепи с частотным детектором  $T_{\Phi_1}$  и, что  $\beta > \gamma$ . Тогда можно построить переходный процесс отдельно для каждой ветви, причем для широкополосной ветви его изображение будет иметь вид

$$\Delta v'(p) = \frac{\Delta v_c(p)}{1 + \frac{\beta}{T_{\Phi_1} p + 1}} + \frac{\frac{\beta}{T_{\Phi_1} p + 1} \Delta f_{\text{МЭТ}}(p)}{1 + \frac{\beta}{T_{\Phi_1} p + 1}} - \frac{\frac{\beta}{T_{\Phi_1} p + 1} \Delta f_{\text{Д}_1}(p)}{1 + \frac{\beta}{T_{\Phi_1} p + 1}} \quad (8)$$

и для фазовой подстройки

$$\Delta v''(p) = \frac{\Delta v_c(p)}{1 + \frac{\gamma}{\rho^2 (T_{\Phi_2} p + 1)}} + \frac{\frac{\gamma}{\rho^2 (T_{\Phi_2} p + 1)} \Delta f_{\text{МЭТ}}(p)}{1 + \frac{\gamma}{\rho^2 (T_{\Phi_2} p + 1)}}. \quad (8')$$

После соответствующих преобразований уравнения представляются в виде

$$\Delta v'(p) = \frac{\Delta v_c(p) (T_{\Phi_1} p + 1)}{T_{\Phi_1} p + 1 + \beta} + \frac{\beta \Delta f_{\text{МЭТ}}(p)}{T_{\Phi_1} p + 1 + \beta} - \frac{\beta \Delta f_{\text{Д}_1}(p)}{T_{\Phi_1} p + 1 + \beta} \quad (9)$$

и

$$\Delta v''(p) = \frac{\Delta v_c(p) \rho^2 (T_{\Phi_2} p + 1)}{T_{\Phi_2} p^3 + \rho^2 + \gamma} + \frac{\Delta f_{\text{МЭТ}}(p)}{T_{\Phi_2} p^3 + \rho^2 + \gamma}. \quad (9')$$

Из уравнений (9) и (9') следует, что в установившемся режиме ( $t \rightarrow \infty$ ,  $\rho \rightarrow 0$ )

$$\Delta v'_{\text{ост}} = \frac{\Delta v_{\text{н}}}{\beta} + \Delta f_{\text{МЭТн}} - \Delta f_{\text{Д}_1\text{н}} \quad (10)$$

и

$$\Delta v''_{\text{ост}} = \Delta f_{\text{МЭТн}}.$$

Оригинал изображения (9) находим довольно просто:

$$\Delta v'(t) = \frac{\Delta v'_{\text{н}}}{\beta} + \Delta v'_{\text{н}} e^{-\frac{\beta t}{T_{\Phi_1}}} + \Delta f_{\text{Д}_1\text{н}}. \quad (11)$$

Оригинал изображения (9') определяем после ряда преобразований. Для первого члена (9') оригинал ищем по известной формуле

$$F(p) = \frac{Q(p)}{P(p)} \rightarrow \frac{Q(0)}{P(0)} + \sum_{k=1}^n \frac{Q(p_k)}{p_k P'(p_k)} e^{p_k t}, \quad (12)$$

где  $p_k$  — корни уравнения третьего порядка  $P(p)$ . Уравнение третьего порядка преобразуется к виду

$$y^3 + by + q = 0, \quad (13)$$

где

$$y = p - \frac{1}{3T_{\Phi_2}}$$

(обозначим  $-\frac{1}{3T_{\Phi_2}^2} = 3A$  и  $\frac{2}{27T_{\Phi_2}^3} + \frac{\gamma}{T_{\Phi_2}} = -2B$ ). Тогда, поскольку  $T_{\Phi_2} \approx 1$ , можно считать, что  $A^2 + B^2 > 0$ ;  $\left[\left(\frac{\gamma}{T_{\Phi_2}}\right)^2\right] \gg \left(\frac{1}{9T_{\Phi_2}^2}\right)^3$  и корни уравнения (13) будут действительными, а именно:

$$\begin{aligned} y_1 &= 2r \cos \varphi; \\ y_2 &= 2r \cos \left( \varphi + \frac{2}{3} \pi \right); \\ y_3 &= 2r \cos \left( \varphi + \frac{4}{3} \pi \right), \end{aligned} \quad (14)$$

где  $r = \frac{T_{\Phi_2}}{3}$  и  $\varphi = \frac{1}{3} \arccos \left( -\frac{1}{T_{\Phi_2}^6} - \frac{27}{2T_{\Phi_2}^4} \right)$ ;  $\varphi$  и  $\varphi + \frac{2}{3} \pi$  могут быть отрицательными, если  $90^\circ < \varphi < 120^\circ$ . Однако  $y_3$  — третий корень при этом может быть отрицательным только в случае, если  $\left| \frac{1}{3T_{\Phi_2}} \right| > y_k$ . При выполнении этого неравенства все корни уравнения (13) действительные и отрицательные и система ФАП устойчива. Если хотя бы один из корней (например,  $y_3 > 0$  и  $|y_3| > \left| \frac{1}{3T_{\Phi_2}} \right|$ ), переходный процесс может закончиться раскачкой системы.

Обозначив

$$y_1 - \frac{1}{3T_{\Phi_2}} = \lambda_1; \quad y_2 - \frac{1}{3T_{\Phi_2}} = \lambda_2; \quad y_3 - \frac{1}{3T_{\Phi_2}} = \lambda_3, \quad (15)$$

получим переходный процесс в фазовом кольце

$$\begin{aligned} \Delta v''(t) &= \frac{\Delta v_n \lambda_1^2 (T_{\Phi_2} \lambda_1 + 1)}{\lambda_1 (3T_{\Phi_2} \lambda_1^2 + 2\lambda_1)} e^{\lambda_1 t} + \frac{\Delta v_n \lambda_2^2 (T_{\Phi_2} \lambda_2 + 1)}{\lambda_2 (3T_{\Phi_2} \lambda_2^2 + 2\lambda_2)} e^{\lambda_2 t} + \\ &+ \frac{\Delta v_n \lambda_3^2 (T_{\Phi_2} \lambda_3 + 1)}{\lambda_3 (3T_{\Phi_2} \lambda_3^2 + 2\lambda_3)} e^{\lambda_3 t} + \frac{\Delta f_{\text{МЭТН}} \gamma}{\lambda_1 (3T_{\Phi_2} \lambda_1^2 + 2\lambda_1)} e^{\lambda_1 t} + \\ &+ \frac{\Delta f_{\text{МЭТН}} \gamma}{\lambda_2 (3T_{\Phi_2} \lambda_2^2 + 2\lambda_2)} e^{\lambda_2 t} + \frac{\Delta f_{\text{МЭТН}} \gamma}{\lambda_3 (3T_{\Phi_2} \lambda_3^2 + 2\lambda_3)} e^{\lambda_3 t}. \end{aligned} \quad (16)$$

Если вместо  $\Delta v_n$  подставить  $\Delta v'_n$ , то можно считать, что работа ФАП начинается после окончания работы ЧАП. Поэтому полное время установления колебаний в системе необходимо определять по (16), задавшись отношением  $\Delta v'_n / \Delta v''_n \approx 10$ . Вид процесса, как это следует из (11) и (16), во всех случаях аperiodический.

Таким образом, анализ подтверждает устойчивость системы в «малом» (линейном) режиме и аperiodический режим работы в переходном режиме. Однако часто используются нелинейные участки характеристики (рис. 3) частотного дискриминатора. При этом ее либо аппроксимируют гиперболой, либо линеаризуют с помощью методов гармонической линеаризации. В этом случае выражение для переходного процесса системы получается очень сложным и его анализ выходит за рамки настоящей работы. Отметим только, что в этом случае полоса схватывания и полоса удержания будут определяться системой ЧАП, т. е. фактически типом дискриминатора. Например, для дискриминатора с балансным фазовым детектором полоса схватывания

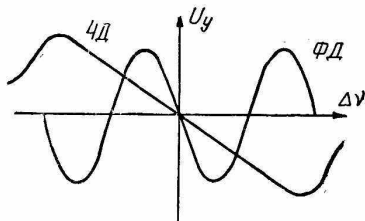


Рис. 3. Дискриминационные характеристики фазового и частотного дискриминаторов.

$$\Delta\nu_{\text{сх чап}} = 0,8 \sqrt{\frac{U_{\text{тс}} S K_{\text{д}} \nu_{\text{чд}} S_{\text{у}}}{2QC}}. \quad (17)$$

Здесь, кроме ранее известных величин,  $C$  — емкость связи.

В заключение отметим, что на вид переходного процесса могли повлиять сделанные упрощения: не учтены инерционные свойства частотного дискриминатора, а мотор в цепи фазового дискриминатора рассматривается как идеальное интегрирующее звено. Однако влияние этих факторов, как показывает подробный анализ, незначительно.

Условие работы системы с двумя кольцами следующее:

$$\Delta\nu_{\text{сх фап}} \approx 6,4\gamma \geq \Delta\nu'_{\text{ост}} = \frac{\Delta\nu_{\text{н}}}{\beta} + \Delta f_{\text{мэтр}} - \Delta f_{\text{д.н.}} \quad (18)$$

### О влиянии флуктуаций частоты межмодовых биений и других шумов на работу ЧФАП

На рассматриваемую систему ЧФАП действуют два вида помех: флуктуационная помеха, связанная с шумами приемника, смесителя, УПЧ<sub>1</sub> и УПЧ<sub>2</sub>, и внутренние флуктуации квантового генератора, обусловленные различного рода механикой, акустикой, а также качеством синхронизации колебаний, связанным с предыдущими факторами. Эти два вида шумов существенно различны.

Шум первого рода имеет значительно более широкую полосу, чем полоса пропускания УПЧ<sub>1</sub> и УПЧ<sub>2</sub> (рис. 1). Его средняя частота совпадает с  $f_{\text{пр.1}} = \nu_{\text{чд}} = f_{\text{ш.б}}$ . Можно, считать, что его спектральная плотность во всей полосе одинакова и равна вели-

чине последней на центральной частоте. Складываясь в смесителе с  $f_{\text{мэт}}$ , шум первого рода дает сигнал с частотой [1]

$$\nu_{\text{срш}} = (f_{\text{мэт}} - f_{\text{ш}_0}) e^{-q^2} + f_{\text{мэт}}, \quad (19)$$

где  $q = \frac{U_c}{\sqrt{2}\sigma}$  — отношение сигнал/шум по напряжению;

$\sigma$  — дисперсия шума на входе;

$U_c$  — амплитуда сигнала.

В результате биений эталонной частоты и межмодовых биений получается сигнал

$$\nu_{\text{ср}_0} = \nu_{\text{чд}} - \delta [\overline{\Delta\nu_{\text{срс}}}(t)], \quad (20)$$

где  $\overline{\Delta\nu_{\text{срс}}}(t)$  — среднее значение флуктуаций частоты межмодовых биений.

На входе дискриминатора получаем суммарный сигнал с частотой

$$\nu_{\text{срш}_0} = \nu_{\text{чд}} - \eta \overline{\Delta\nu_{\text{срс}}}(t) \quad (\eta = 1 - e^{-q^2}). \quad (21)$$

Поскольку  $\eta < 1$ , его появление приведет к уменьшению чувствительности частотного дискриминатора практически в  $\eta$  раз. Окончательная расстройка для частотного кольца ЧФАП будет иметь вид

$$\Delta\nu_{\text{ост}}' = \frac{\Delta\nu_{\text{н}}}{1 + \eta K}. \quad (22)$$

Для определения среднеквадратичной ошибки за счет шумов необходимо взять интеграл вида

$$\Delta\nu_{\text{ср. кв. чап}}^2 = \int_0^{\infty} |K_1(j\omega)|^2 G_{\text{вх}}(\omega) d\omega, \quad (23)$$

где  $K_1$  берется из (1), а  $G_{\text{вх}}(\omega) = G_{\text{вх}}(0)$  для данного вида шумов.

Тогда, если учитывать только однозвенный фильтр,

$$\Delta\nu_{\text{ср. кв. чап}} = \frac{\beta r_{\text{ш}}(0)}{4T_{\phi_1}\eta} \quad (24)$$

( $r_{\text{ш}}(0) = \frac{\sqrt{2}\Delta f_{\text{пр}}}{\pi} e^{-q^2}$  — энергетический спектр шумов на входе смесителя).

Для фазового кольца интеграл вида (23) решается с учетом  $G_{\text{вх}}(\omega) = 1$ , и при наличии однозвенного фильтра и без учета двигателя эта ошибка имеет величину [2]

$$\Delta\nu_{\text{ср. кв. фап}}^2 = \frac{S_y^2}{4T_{\phi_2}}. \quad (25)$$

Здесь  $S_y$  — коэффициент передачи управляющего элемента.

Кроме рассмотренных, имеется еще два вида шумов, присущих только лазерным системам. Это низкочастотные шумы, накладыва-



вающиеся на частоту межмодовых биений за счет нестабильности длины резонатора, акустических возмущений, изменения показателя преломления среды и флуктуации частоты и изменения ширины спектра за счет неполной синхронизации колебаний (мод).

Нахождение спектральной плотности флуктуаций частоты межмодовых биений — довольно сложная задача. Для приближенных оценок ее можно представить гауссовской кривой вида

$$S(\omega) = S_0 e^{-\frac{\pi(\omega - \omega_{\text{чд}})^2}{\Delta\omega_c^2}}, \quad (26)$$

где  $\Delta\omega_c = 2\pi\Delta\nu_{\text{стс}}$  — эффективная ширина спектра межмодовых биений.

Флуктуационный сигнал со спектральной плотностью (26) может видоизменяться в каскадах резонансных усилителей. Однако в нашем случае эти изменения весьма незначительны, поскольку  $\Delta\nu_{\text{стс}}$  примерно равно  $\Delta f_{\text{пр1}}$  и  $\Delta f_{\text{пр2}}$ . Поэтому более существенно влияние фильтров НЧ в цепях обратной связи.

Если частотный дискриминатор работает в линейном режиме,  $\bar{S}_{\text{чд}} = S_{\text{чд}}$ . Тогда спектральная плотность сигнала вида (26) на его выходе при  $\omega = \omega_{\text{чд}}$  равна

$$S(0) = \frac{S_{\text{чд}}^2 \Delta\nu_c}{16\sqrt{2\pi}}. \quad (27)$$

Если учесть следующий за дискриминатором фильтр, можно вычислить дисперсию шума на выходе системы ЧАП

$$\Delta\nu_{\text{ср. кв. чап}} = S_0 \Delta F_{\text{з}}, \quad (28)$$

где  $\Delta F_{\text{з}}$  — эквивалентная полоса пропускания фильтра, определяющая общую полосу пропускания системы;  $\Delta F_{\text{з}} = \frac{\beta^2}{2T_{\text{Ф1}}}$ . Аналогичным способом можно получить дисперсию сигнала на выходе фазового кольца О. С. Для простоты мы рассмотрим сигнал вида (26), прошедший через УПЧ<sub>2</sub>, после чего его спектральная плотность принимает вид

$$S(\omega) = \frac{S(0)}{1 + \tau_k (\omega - \omega_0)^2}. \quad (29)$$

Дисперсия на выходе фазового детектора с учетом фильтра

$$\Delta\nu_{\text{ср. кв. фад}} = \int_0^{\infty} S(\omega) |K_2(j\omega)|^2 d\omega = \frac{4U_0 S_0}{\pi^2 (T_{\text{Ф2}} + \tau_k)}; \quad (30)$$

здесь  $U_0$  — амплитуда опорного напряжения;  $\tau_k = \frac{2Q}{\nu_{\text{чд}}}$ .

Таким образом, увеличение постоянной времени как в первой, так и во второй цепи приводит к уменьшению дисперсии за счет флуктуаций самого сигнала. То же можно сказать и о полосе

пропускания усилителей. Однако уменьшение последней может привести к возбуждению системы ЧФАП из-за появления времени запаздывания  $\tau_{31}$  и  $\tau_{32}$ , которое при его значительной величине необходимо учитывать во всех расчетах.

## ВЫВОДЫ

Анализ системы стабилизации длины резонатора многочастотного ОКГ показал, что в линейном приближении при раздельном учете влияния ЧАП и ФАП реализуется устойчивый режим с переходным процессом аperiodического типа. При более подробном учете инерционных свойств компонентов системы возможны колебательные режимы, однако и в этом случае система устойчива.

Неполная синхронизация продольных колебаний приводит к размыванию спектра частот биений и соответственно к снижению качества регулирования на величину, пропорциональную спектральной плотности флуктуации сигнала.

## ЛИТЕРАТУРА

1. В. И. Каранов. Системы автоматического регулирования в радиопередатчиках. Изд-во «Связь», IV, 1964.
2. Б. Х. Кривицкий. Автоматические системы радиотехнических устройств. Госэнергоиздат, М. — Л., 1962.